

This airborne geophysical survey and the production of this map were funded by the Geo-Mapping for Energy and Minerals (GEM) Program of the Earth Sciences Sector, Natural Resources Canada.
Ce levé géophysique aéroporté et la production de cette carte ont été financés par le programme Géocartographie de l'Énergie et des Minéraux (GEM) du Secteur des sciences de la Terre, Ressources naturelles Canada.

GSC OPEN FILE 6066 / DOSSIER PUBLIC 6066 DE LA CGC
MGS OPEN FILE OF2009-2 / OPEN FILE OF2009-2 DES LGM

GEOPHYSICAL SERIES / SÉRIE DES CARTES GÉOPHYSIQUES

NTS 64 P/02 / SNRC 64 P/02

AIRBORNE GEOPHYSICAL SURVEY OF THE GREAT ISLAND AND SEAL RIVER AREA, MANITOBA
LEVÉ GÉOPHYSIQUE AÉROPORTÉ DE LA RÉGION DE GREAT ISLAND ET SEAL RIVER, MANITOBA



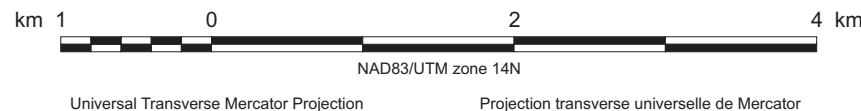
Natural Resources Canada
Ressources naturelles Canada

Authors : Fortin, R., Coyle, M., Carson, J.M., and Kiss, F.

Date acquisition, compilation and map production by
Sander Geophysics Limited, Ottawa, Ontario.
Contrat and project management
by the Geological Survey of Canada, Ottawa, Ontario.



Scale 1 : 50 000 - Échelle 1 / 50 000



Universal Transverse Mercator Projection
North American Datum, 1983
© Her Majesty the Queen in Right of Canada 2009

Digital Topographic Data provided by Geomatics Canada, Natural Resources Canada
Données topographiques numériques de Géomatique Canada, Ressources naturelles Canada

Auteurs : Fortin, R., Coyle, M., Carson, J.M., et Kiss, F.

L'acquisition, la compilation des données ainsi que la production des cartes furent effectuées par Sander Geophysics Limited, Ottawa, Ontario.
La gestion et la supervision du projet furent effectuées par la Commission géologique du Canada, Ottawa, Ontario.



Location Map - Carte de Localisation

A gamma-ray spectrometric and aeromagnetic airborne geophysical survey of the Great Island and Seal River area, Manitoba, was completed by Sander Geophysics Limited. The survey was flown from September 15th to October 28th, 2008 using a Cessna 208B Grand Caravan (C-208B). The nominal traverse and control line spacing were, respectively, 400 m and 2 400 m, and the aircraft flew at a nominal terrain clearance of 120 m at an air speed of 250 kt/h. Traverse lines were oriented 180° with orthogonal control lines. The flight path was recovered following post-flight differential corrections to raw data recorded by a Global Positioning System. The survey was flown on a pre-determined flight surface to minimize differences in magnetic values at the intersections of control and traverse lines.

Gamma-ray Spectrometric Data

The airborne gamma-ray measurements were made with an Epsilon™ GR-820 gamma-ray spectrometer using fourteen 102 x 102 x 406 mm NaI (Tl) crystals. The main detector array consisted of twelve crystals (total volume 80.4 litres). Two crystals (total volume 8.4 litres), shielded by the main array, were used to detect variations in background radiation caused by atmospheric radon. The system assembled 256 channel spectra from the individual NaI (Tl) detectors with no loss of Poisson statistics. Spectra stabilization is accomplished by matching the recorded spectra with several natural gamma-ray peaks.

Potassium is measured directly from the 1460 keV gamma-ray photons emitted by ⁴⁰K, whereas uranium and thorium are measured indirectly from gamma-ray photons emitted by daughter products (²¹⁴Pb for uranium and ²¹⁴Pb for thorium). Although these daughters are far down their respective decay chains, they are assumed to be in equilibrium with their parents. Thus gamma-ray spectrometric measurements of uranium and thorium are referred to as equivalent uranium and equivalent thorium, i.e. 4U and 4Th. The energy windows used to measure potassium, uranium and thorium are, respectively, 1370–1570 keV, 1860–1865 keV, and 2410–2810 keV.

Gamma-ray spectra were recorded at one-second intervals. Data processing followed standard procedures as described in IAEA, 1991 and IAEA, 2003. Noise-Adjusted Singular Value Decomposition (NADVD) analysis was applied to the full spectrum data to reduce statistical noise in the windowed data. During processing, the spectra were energy calibrated, and counts were calculated for the window described above. Counts from other detector channels were subtracted from the 1460, 1860 keV windows and radiation at energies greater than 3000 keV was recorded in the cosmic window. The window counts were corrected for dead time, background activity from cosmic radon, radon progeny, and atmospheric radon decay products. The window data were then corrected for spectral scattering in the ground, air, and detectors. Corrections for deviations from the planned terrain clearance and for variation of temperature and pressure were made prior to conversion to ground concentrations of potassium, uranium and thorium, using factors determined from flights over the Breckenridge test strip. The factors for potassium, uranium, and thorium were, respectively, 98.47 cps%, 10.46 cpsppm, and 5.71 cpsppm.

Corrected data were filtered and interpolated to a 100m grid interval. The results of an airborne gamma-ray spectrometer survey represent the average surface concentrations that are influenced by varying amounts of radon, overburden, vegetation cover, soil moisture and surface water. As a result the measured concentrations are usually lower than the actual bedrock concentrations. The total air absorbed dose rate in nanograms per hour was produced from measured counts between 400 and 2810 keV.

Magnetic Data

The magnetic field was sampled 10 times per second using a split-beam cesium vapour magnetometer (sensitivity = 0.005 nT) rigidly mounted to the aircraft. Differences in magnetic values at the intersections of control and traverse lines were computer-analyzed to obtain a mutually leveled set of flight-line magnetic data. The leveled values were then interpolated to a 100 m grid. The International Geomagnetic Reference Field (IGRF) defined at the average GPS altitude for the year 2008 was then removed. Removal of the IGRF (representing the magnetic field of the Earth's core), produces a residual component related essentially to magnetization within the Earth's crust.

The first vertical derivative of the magnetic field is the rate of change of the magnetic field in the vertical direction. Computation of the first vertical derivative removes long-wavelength features of the magnetic field and significantly improves the resolution of closely spaced and overlapping anomalies. A property of this vertical derivative map is the coincidence of the zero-value contour with vertical contacts at high magnetic latitudes (Hood, 1985).

Un levé géophysique aéroporté en spectrométrie gamma et magnétique a été réalisé dans la région de Great Island et Seal River au Manitoba par la société Sander Geophysics. Le levé a été effectué du 15 septembre au 28 octobre 2008, à bord d'un avion Cessna 208B Grand Caravan immatriculé C-208B. L'espacement nominal des lignes de vol était de 400 m et celui des lignes de contrôle de 2 400 m, alors que l'altitude nominale de vol était de 120 m et la vitesse nominale était de 250 km/h. Les lignes de vol étaient orientées à 180° et les lignes de contrôle leur étaient perpendiculaires. La trajectoire de vol a été restituée par l'application après le vol de corrections différentielles aux données brutes enregistrées par un système de positionnement global (GPS). Le levé a été effectué suivant une surface de vol prédéterminée afin de réduire le plus possible les différences des valeurs du champ magnétique aux intersections des lignes de contrôle et des lignes de levé.

Données de spectrométrie gamma

Les mesures du rayonnement gamma ont été effectuées à l'aide d'un spectromètre gamma Epsilon™ GR-820 utilisant quatorze cristaux de NaI (Tl) de 102 x 102 x 406 mm. Le principal réseau de capteurs se composait de douze cristaux (volume total de 80,4 litres). Deux cristaux (volume total de 8,4 litres), protégés par le réseau principal, ont été utilisés pour détecter les variations du rayonnement naturel causées par le radon atmosphérique. Ce système compile à partir des réponses individuelles des cristaux de NaI (Tl) un spectre de 256 canaux en respectant une distribution de Poisson. La calibration des spectres est réalisée en ajustant les spectres enregistrés selon plusieurs pics gamma naturels.

Le potassium est mesuré directement d'après les photons gamma de 1 460 keV émis par le ⁴⁰K, tandis que l'uranium et le thorium sont mesurés indirectement d'après les photons gamma émis par des produits de fission (²¹⁴Pb pour l'uranium et ²¹⁴Pb pour le thorium). Bien que ces radionucléides de fission se trouvent loin dans leur chaîne respective de désintégration, on suppose qu'ils sont en équilibre avec leur radionucléide père, ainsi, les mesures spectrométriques du rayonnement gamma de l'uranium et du thorium sont désignées comme des équivalents d'uranium et des équivalents de thorium, soit 4U et 4Th. Les plages d'énergie utilisées pour mesurer le potassium, l'uranium et le thorium sont respectivement, de 1370 à 1570 keV, de 1860 à 1865 keV et de 2410 à 2810 keV.

Les spectres du rayonnement gamma ont été enregistrés à des intervalles d'une seconde. Le traitement des données a suivi les procédures standard décrites dans IAEA, 1991 et IAEA, 2003. Le trait de fond statistique a été réduit par la décomposition en valeurs angulaires des spectres de 256 canaux (NADVD). Pendant le traitement, les spectres ont été soumis à un étalonnage énergétique et les coups ont été convertis dans les plages décrites ci-dessus. Les coups obtenus à l'aide des capteurs de radon ont été soustraits des données de la plage de 1 460 keV et le rayonnement à 1 860 keV a été enregistré dans la plage du rayonnement cosmique. Les coups enregistrés dans les plages ont été corrigés pour tenir compte du temps mort, du rayonnement de fond dû au rayonnement cosmique, de la radioactivité de l'aéronef et des produits de désintégration du radon atmosphérique. Les données pour les plages ont ensuite été corrigées pour tenir compte de la diffusion spectrale dans le sol, l'air et les capteurs. Les corrections pour les écarts à la hauteur de vol prévue et les variations de température et de pression ont été effectuées avant la conversion en concentrations au-dessus du sol du potassium, de l'uranium et du thorium, en utilisant des facteurs déterminés lors de vols effectués au-dessus de la bande d'étalonnage de Breckenridge. Les facteurs déterminés pour le potassium, l'uranium et le thorium étaient respectivement de 98,47 cps%, 10,46 cpsppm, et 5,71 cpsppm.

Un filtre a été appliqué aux données corrigées, qui ont ensuite été interpolées suivant une grille à maille de 100 m. Les résultats d'un levé aérien de spectrométrie gamma représentent les concentrations moyennes à la surface, qui sont influencées par les altérations variables des affleurements, des morts-terrains, de la couverture végétale et de l'eau de surface. Par conséquent, les concentrations mesurées sont habituellement plus faibles que les concentrations réelles dans le substratum rocheux. Le débit total de la dose absorbée par l'air, en nanogramme à l'heure, a été déterminé d'après les coups mesurés dans la plage de 400 à 2 810 keV.

Données sur le champ magnétique

Le champ magnétique a été échantillonné 10 fois par seconde à l'aide d'un magnétomètre à vapeur de césium à faisceau partagé (sensibilité = 0,005 nT) rigidement fixé à l'aéronef. Les différences de valeur du champ magnétique aux intersections des lignes de contrôle et des lignes de levé ont été analysées par ordinateur afin d'obtenir un ensemble de données sur le champ magnétique mutuellement nivelées sur les lignes de vol. Ces valeurs nivelées ont ensuite été interpolées suivant une grille à maille de 100 m. Le champ magnétique international de référence (International Geomagnetic Reference Field, IGRF) défini à l'altitude moyenne fournie par les données GPS pour l'année 2008 a été soustrait. La soustraction de l'IGRF, qui représente le champ magnétique du noyau terrestre, fournit une composante résiduelle essentiellement liée à la magnétisation de l'écorce terrestre.

La dérivée première verticale du champ magnétique représente le taux actuel selon le champ magnétique suivant la verticale. Le calcul de la dérivée première verticale supprime les composantes de grande longueur d'onde du champ magnétique et améliore considérablement la résolution des anomalies rapprochées les unes des autres et les superposées. Une des propriétés des cartes de la dérivée première verticale est la coïncidence de l'isogamme de valeur zéro et des contacts verticaux aux hautes latitudes magnétiques (Hood, 1985).

References/Références

- Hood, P.J. 1985. Gradient measurements in aeromagnetic surveying. *Geophysics*, 50, 861-902.
International Atomic Energy Agency, 1981. Airborne gamma-ray spectrometer surveying. Technical Reports Series 323, IAEA, Vienna.
International Atomic Energy Agency, 2003. Guidelines for radiometric mapping using gamma-ray spectrometry data. Technical Reports Series 1363, IAEA, Vienna.

PLANIMETRIC SYMBOLS

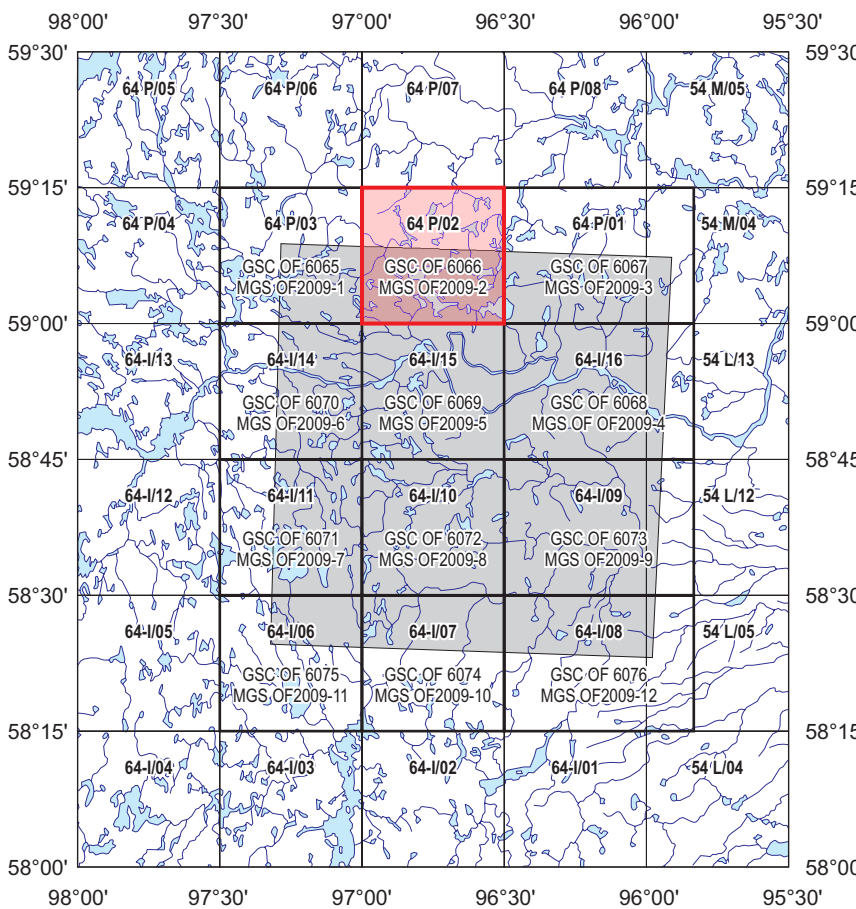
| | | |
|---------------------|-------|-------|
| Topographic contour | | |
| Drainage | | |
| Building | | |
| Cut Line | | |
| Road | | |
| Trail | | |
| Flight Line | | |

SYMBOLES PLANIMÉTRIQUES

| | |
|-------------------|-------|
| Courbes de niveau | |
| Drainage | |
| Temple (church) | |
| Bâtiment | |
| Perce | |
| Chemin | |
| Sentier | |
| Ligne de vol | |

MAP SHEET SUMMARY / SOMMAIRE DES FEUILLETS

| GSC/MGS Sheet Feuillelet CGC/LGM | MAP / CARTE |
|---|-------------|
| 1. Natural Air Absorbed Dose Rate Taux d'absorption naturel des rayons gamma dans l'air | |
| 2. Potassium | |
| 3. Uranium | |
| 4. Thorium | |
| 5. Uranium / Thorium | |
| 6. Uranium / Potassium | |
| 7. Thorium / Potassium | |
| 8. Ternary Radioelement Map Diagramme ternaire des radionucléides | |
| 9. Residual Total Magnetic Field Composante résiduelle du champ magnétique total | |
| 10. First Vertical Derivative of the Magnetic Field Dérivée première verticale du champ magnétique | |



AIRBORNE GEOPHYSICAL SURVEY OF THE GREAT ISLAND AND SEAL RIVER AREA, MANITOBA
LEVÉ GÉOPHYSIQUE AÉROPORTÉ DE LA RÉGION DE GREAT ISLAND ET SEAL RIVER, MANITOBA

OPEN FILE
DOSSIER PUBLIC
6066
GEOLOGICAL SURVEY OF CANADA
COMMISSION GÉOLOGIQUE DU CANADA
2009
SHEET 2 OF 10
FEUILLET 2 DE 10

Open files are products that have not gone through the GSC formal publication process.
Les dossiers publics sont des produits qui n'ont pas été soumis au processus officiel de publication de la CGC.

OPEN FILE
OF2009-2
MANITOBA GEOPHYSICAL SURVEY
LEVÉ GÉOPHYSIQUE DU MANITOBA
2009
SHEET 2 OF 10
FEUILLET 2 DE 10

MANITOBA GEOPHYSICAL SURVEY
LEVÉ GÉOPHYSIQUE DU MANITOBA
2009
SHEET 2 OF 10
FEUILLET 2 DE 10

Recommended citation:
Fortin, R., Coyle, M., Carson, J.M., and Kiss, F.
2009. Geophysical series NTS 64 P/02, Manitoba.
Airborne Geophysical Survey of the Great Island and Seal River Area, Manitoba.
Geological Survey of Canada, Open File 6066.
Manitoba Geological Survey, Open File OF2009-2,
scale 1:50 000.

Notation bibliographique conseillée :
Fortin, R., Coyle, M., Carson, J.M., et Kiss, F.
2009. Série des cartes géophysiques, SNRC 64 P/02, Manitoba.
Levé géophysique aéroporté de la région de Great Island et Seal River, Manitoba.
Commission géologique du Canada, Dossier public 6066.
Levés géophysiques du Manitoba, Open File OF2009-2,
échelle 1:50 000.